

# 超环面全息光栅记录参数的选取

庄 夔

(中国科学院长春光学精密机械研究所)

## 提 要

为制造消象差的、用于瀨谷-波冈单色仪上的超环面全息光栅,我们发展了一种计算方法,本文描述了确定适当记录参数的程序,理论上的结果表明了这个计算方法是可用的。

## 一、前 言

本文从减小象差的要求出发,叙述在制造超环面全息光栅时,所用干涉仪中的各参数( $r_c, r_D, \gamma, \delta$ )的选取方法。其它面形的全息光栅可参看[1]等文献。

## 二、记录参数和 $\rho$ 的选取

根据文献[2],超环面全息光栅的光程函数  $F$  由下式表示:

$$F = r + r' + \sum p \omega^i l^j z^k F_{ijk} = r + r' + \sum p \omega^i l^j z^k [M_{ijk} + (m\lambda/\lambda_0) H_{ijk}], \quad (1)$$

式中  $m$ ——光谱级次;  $\lambda$ ——使用波长;  $\lambda_0$ ——激光波长。

公式(1)中的系数为  $F_{ijk}, M_{ijk}, H_{ijk}$  和常数为  $p, i, j, k$  [2]。

要得到无象差的象,一般多用费马原理来表述,即要满足  $\partial F/\partial \omega = 0$  和  $\partial F/\partial l = 0$ , 以此作为聚焦和消象差的基础。由于  $\omega, l$  对光程函数  $F$  作偏微分时,式中  $\omega^i$  或  $l^j$  成为  $i\omega^{(i-1)}$  或  $j l^{(j-1)}$ , 而相应的  $F_{ijk}$  值不变,因而  $F_{ijk}$  值相当于象差系数。使光程函数中的  $F_{ijk}$  都为零,则满足了费马原理;在实际计算中,一般都选择其中影响较大的几项为零,残余象差小于  $\lambda/4$  (瑞利判据),也即是  $(\partial F/\partial \omega) + (\partial F/\partial l) \leq \lambda/4$ , 就可以认为近似地满足了费马原理,成象接近于理想。

光程函数中  $(\omega^2/2R) F_{200}$  为离焦项;  $(l^2/2R) F_{020}$  为象散项;  $(\omega^3/2R) F_{300}$  和  $(\omega l^2/2R) F_{120}$  为彗差项;  $(\omega^4/8R^3) F_{400}, (\omega^2 l^2/8R^3) F_{220}$  和  $(l^4/8R^3) F_{040}$  为球差项;  $\omega F_{100}$  项的系数为零,相当于满足光栅方程式

$$F_{100} = -\sin \alpha - \sin \beta + (m\lambda/\lambda_0) (\sin \delta - \sin \gamma) = 0,$$

即

$$m\lambda = \sigma (\sin \alpha + \sin \beta) \quad (\sigma \text{——光栅常数}). \quad (2)$$

一般在预定的波长范围内 ( $\lambda_1 \leq \lambda \leq \lambda_2$ ), 可以通过选择全息光栅的记录参数和  $\rho$ , 使象差得到较小值。Lepère 是在至少两个波长上使  $F_{200}^*$  为零, 在一个波长上使  $F_{020}^*$  和  $F_{300}^*$  为零 [3]; 在瀨谷-波冈单色仪中, 增田文男等则是通过  $\int_{\lambda_1}^{\lambda_2} [F_{ijk}^*]^2 d\lambda$  为极小值 (此时  $i+j=2, 3$

和  $k=0$ ), 使得  $F_{200}^*$ 、 $F_{020}^*$ 、 $F_{300}^*$  和  $F_{120}^*$  在预定的波长范围内为最小值。

本文则是在中心波长  $\lambda_3$  和两端波长上使  $M_{200}^*$  为零, 在终端波长上使  $F_{020}^*$ 、 $F_{120}^*$ 、 $F_{200}^*$  为零, 这样就能使象差得到较小值。也就相当于把影响某参数的主要因素列出方程式进行计算, 也即近似地满足了费马原理。用这种方法可简化计算, 所得结果仍是好的。

我们发现  $H_{200}^*$  对子午光束成象情况的  $F_{200}^*$  影响甚微, 因而用  $M_{200}^*$  值近似地代替  $F_{200}^*$  值; 在波长  $\lambda_1$ 、 $\lambda_3$ 、 $\lambda_2$  处, 使  $M_{200}^*$  为零求出  $C$  值, 则此处点的象为  $z$  方向的一条线。象散系数  $F_{020}^*$  的前项  $M_{020}^*$  是  $\lambda$  的函数; 后项为斜直线,  $H_{020}^*$  值影响其斜率, 它能消减前项中的线性部分, 而非线性部分不变; 因此, 选择适当的记录参数, 可以使象散系数  $F_{020}^*$  减到较小值, 即解方程式  $M_{020}^*(\lambda_3) = (\lambda_3/\lambda_2) M_{020}^*(\lambda_2)$ , 则中心波长上的象散得以减小。

具体计算程序为: 解联立方程式

$$M_{200}^*(\lambda_1) = 0; \quad M_{200}^*(\lambda_2) = 0; \quad M_{200}^*(\lambda_3) = 0; \quad (3)$$

确定  $r$ 、 $r_0'$  和  $C$  值; 解方程式:

$$M_{020}^*(\lambda_3) = (\lambda_3/\lambda_2) M_{020}^*(\lambda_2) \quad (4)$$

确定光栅毛坯的较小的主曲率半径  $\rho$  值; 解下列联立方程式, 确定记录参数  $r_C$ 、 $r_D$ 、 $\gamma$ 、 $\delta$ :

$$\begin{cases} H_{020}^*(\lambda_2) = \psi_1; & H_{120}^*(\lambda_2) = \psi_2; \\ H_{200}^*(\lambda_2) = \psi_3; & \sin \delta - \sin \gamma = \lambda_0/\sigma_0; \end{cases} \quad (5)$$

( $\sigma_0$ ——在  $\omega=l=0$  处的光栅常数, 且  $\delta > \gamma$ ) 式中  $\psi_1 = -(\lambda_0/m\lambda_2) M_{020}^*(\lambda_2)$ ;  $\psi_2 = -(\lambda_0/m\lambda_2) M_{120}^*(\lambda_2)$ ;  $\psi_3 = -(\lambda_0/m\lambda_2) M_{200}^*(\lambda_2)$ ;  $F_{ijk}^* = [F_{ijk}^*]_{r=r_i, \theta=\theta_i, z'=z(r_i/r)}$ ;  $F_{ijk}^* = M_{ijk}^* + (m\lambda/\lambda_0) H_{ijk}^*$ ;  $\lambda_3 = (\lambda_1 + \lambda_2)/2$ 。

$F_{200}^* = 0$  和  $F_{020}^* = 0$  即为一般象散光束的杨氏公式, 满足方程式(3)时,  $F_{200}^*$  将在  $\lambda_1$ 、 $\lambda_2$ 、 $\lambda_3$  处接近零, 能使子午光束成象情况良好, 符合聚焦条件; 满足方程式(5)时,  $F_{020}^*$  将在  $\lambda_2$  处接近零, 能使弧矢光束成象情况良好, 与彗差相当的波差  $F_{120}^*$ 、 $F_{300}^*$  将小于  $\lambda/4$ (瑞利判据), 从而达到消象差的目的。

### 三、超环面全息光栅的计算举例

濑谷-波冈单色仪是由光栅旋转进行扫描, 只有一个位置, 入射狭缝、出射狭缝和光栅中心在罗兰圆上, 其他位置都将偏离罗兰圆, 因而象差较大, 用以上方法可以减小象差; 因其结构简单, 体积小, 人们多愿选用它。

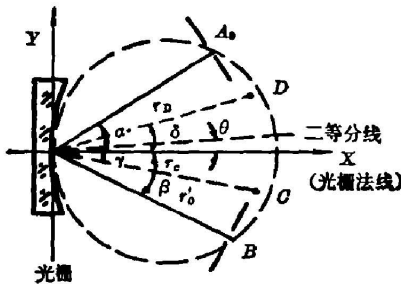


图1 濑谷-波冈单色仪的简图  
Fig. 1 Schematic diagram of a Seya-Namioka monochromator

今以这种单色仪为例进行计算(见图1), 已知罗兰圆直径为 100 mm, 即光栅毛坯较大的一个主曲率半径  $R$  为 100 mm,  $\sigma_0 = 1/600$  mm,  $m = -1$ ,  $\lambda_0 = 4579.3 \text{ \AA}$ , 使用波段( $\lambda_1 \sim \lambda_2$ )为  $0 \sim 7000 \text{ \AA}$ 。

$$\left. \begin{aligned} r \text{ 及 } r_0 = \text{常数}; \quad 2C = \alpha - \beta_0 = \text{常数}; \\ \alpha = C + \theta; \quad \beta_0 = \theta - C; \quad \lambda = \frac{2\sigma_0}{m} \cos C \sin \theta; \end{aligned} \right\} \quad (6)$$

式中  $r$ ——光栅顶点  $O$  和入射狭缝中心  $A_0$  之间的距离;  $r'_0$ —— $O$  和出射狭缝中心  $B_0$  之间的距离;  $2C$ ——为  $A_0OB_0$  角;  $\theta$ ——从  $2C$  角的平分线量取的光栅旋转角, 符号与光谱级次  $m$  同。

### 1. 确定参数 $C$

解联立方程式(3), 即解方程式

$$\frac{\cos^2 \alpha_2}{\cos^2 \alpha_1} \left[ \frac{\cos \alpha_1 + \cos \beta_1}{R} - \cos^2 \beta_1 \left( \frac{\cos \alpha_1 + \cos \beta_1}{R \cos^2 \alpha_1} - \frac{\cos \alpha_3 + \cos \beta_3}{R \cos^2 \alpha_3} \right) \right. \\ \left. / \left( \frac{\cos^2 \beta_1}{\cos^2 \alpha_1} - \frac{\cos^2 \beta_3}{\cos^2 \alpha_3} \right) \right] - \frac{\cos \alpha_2}{R} + \cos^2 \beta_2 \left( \frac{\cos \alpha_1 + \cos \beta_1}{R \cos^2 \alpha_1} - \frac{\cos \alpha_3 + \cos \beta_3}{R \cos^2 \alpha_3} \right) \\ \left. / \left( \frac{\cos^2 \beta_1}{\cos^2 \alpha_1} - \frac{\cos^2 \beta_3}{\cos^2 \alpha_3} \right) - \frac{\cos \beta_2}{R} = 0. \quad (7)$$

也就是使

$$(1/R)f_1(C) = 0. \quad (8)$$

用迭代法或弦位法解出  $C$  和  $r, r'_0$  的近似值为:  $C = 34.86960^\circ$ ;  $r = 81.95162$ ;  $r'_0 = 82.13966$ ; 此时  $f_1(C) = 6 \times 10^{-8}$ 。

### 2. 确定参数 $\rho$

从(4)式即

$$\frac{1}{\rho} = \left( \frac{1}{r} + \frac{1}{r'_0} \right) \left( 1 - \frac{\lambda_3}{\lambda_2} \right) / \left( \cos \alpha_3 + \cos \beta_3 - \frac{\lambda_3 \cos \alpha_2}{\lambda_2} - \frac{\lambda_3 \cos \beta_2}{\lambda_2} \right), \quad (9)$$

解出  $\rho = 68.44999$  mm; 此时可见区的象散较小。

### 3. 确定记录参数

解联立方程式(5), 即解方程式:

$$\left. \begin{aligned} & (\sin \gamma - \sin \delta) \left( \frac{1}{r_D} \right)^2 + \left[ 2 \sin \gamma \left( \psi_1 + \frac{\cos \gamma - \cos \delta}{\rho} \right) \right. \\ & \quad \left. - \frac{\sin \gamma \cos \gamma}{\rho} + \frac{\sin \delta \cos \delta}{\rho} \right] \left( \frac{1}{r_D} \right) + \left( \psi_1 + \frac{\cos \gamma - \cos \delta}{\rho} \right)^2 \sin \gamma \\ & \quad - \frac{\sin \gamma \cos \gamma}{\rho} \left( \psi_1 + \frac{\cos \gamma - \cos \delta}{\rho} \right) - \psi_3 = 0; \\ & f_2(\gamma) = (\cos^2 \gamma - \cos^2 \delta) \left( \frac{1}{r_D} \right) + \left( \psi_1 + \frac{\cos \gamma - \cos \delta}{\rho} \right) (\cos^2 \gamma - \cos^2 \delta) \\ & \quad - \frac{\cos \gamma - \cos \delta}{R} - \psi_3 = 0; \end{aligned} \right\} \quad (10)$$

$$\sin \delta - \sin \gamma = \lambda_0 / \sigma_0;$$

得  $\gamma$  的近似值为:  $\gamma = -11.86747^\circ$ ; 此时  $f_2(\gamma) = F_{200}^*(\lambda_2) = 1 \times 10^{-8}$ 。由此我们得到这种光栅的激光记录参数为:

$$\left. \begin{aligned} r_0 &= 53.82928 \text{ mm}; & r_D &= 55.34743 \text{ mm}; \\ \gamma &= -11.86747^\circ; & \delta &= 3.962836^\circ. \end{aligned} \right\} \quad (11)$$

这台濑谷-波冈单色仪的设计参数为:

$$\left. \begin{aligned} r &= 81.95162 \text{ mm}; & r'_0 &= 82.13966 \text{ mm}; \\ R &= 100 \text{ mm}; & \rho &= 68.44999 \text{ mm}; \\ C &= 34.86960^\circ; & 2C &= 69.73278^\circ. \end{aligned} \right\} \quad (12)$$

图 2 表示用这些参数计算  $F_{120}^*$ 、 $F_{200}^*$ (图 2(a))、 $F_{020}^*$ 、 $F_{300}^*$ (图 2(b))的结果, 其残余象差都很小, 符合瑞利判据, 因而结果是满意的。

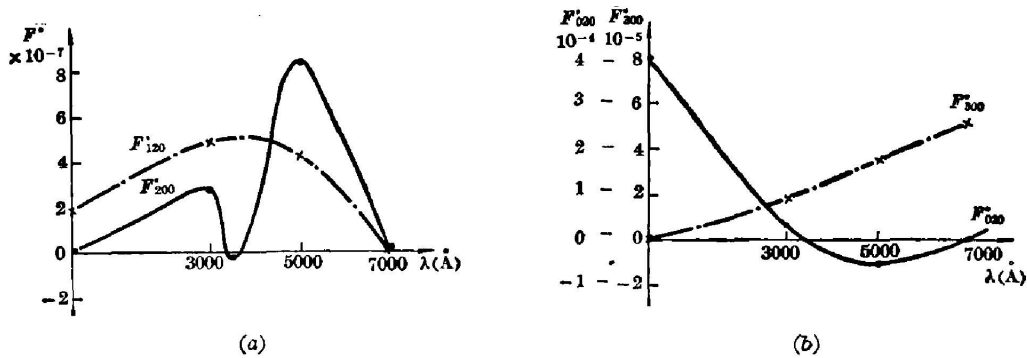


图 2  $F^*$  计算结果图  
Fig. 2 Computing results of  $F^*$

### 参 考 文 献

- [1] H. Noda, T. Namioka; *J. Opt. Soc. Am.*, 1974, **64**, No.8, (Aug.), 1043.  
 [2] 增田文男, 野田英行, 波冈武; 《分光研究》, 1978, **27**, No.3, 211.  
 [3] D. Lepère; *Nouv.Rev. Optique*, 1975, **6**, No. 3, (Mai-Juin), 173.

## Procedure of determining the proper recording parameters of toroidal holographic gratings

ZHUANG KUI

(Changchun Institute of Optics and Fine Mechanics, Academia Sinica)

(Received 30 October 1981, revised 16 June 1982)

### Abstract

A calculation method is developed for producing an aberration-reduced toroidal holographic grating used in a Seya-Namioka monochromator. Procedure of determining the proper recording parameters is described. The theoretical results show the availability of the present calculation method.